

# 磁共振成像中数据空间与 $k$ 空间转化的推导及讨论\*

侯淑莲 王广新 赵 强 谢寰彤 李石玉

(河北联合大学 河北 唐山 063000)

(收稿日期:2011-08-01)

**摘 要:** 在磁共振成像图像重建中,尝试利用普通物理学方法推导数据空间与  $k$  空间的转化过程,揭示  $k$  空间的实质、特点及 MRI 采用傅里叶变换图像重建的优势与必要性.

**关键词:** MRI 数据空间  $k$  空间 傅里叶变换

磁共振成像(Magnetic Resonance Imaging,简称 MRI)与 X-CT、超声、SPECT 等成像的最大不同是没有外在的放射源,产生的信号强度没有与坐标的直接对应关系. MRI 利用处于磁场中具有磁矩的氢原子核受到射频脉冲的激励后,在接收线圈中产生感生电信号;通过一系列的物理手段使信号既带有生物组织信息又带有坐标(位置)信息,然后采集这些信号. 用射频脉冲激发,这涉及到射频脉冲的类型、幅度、宽度、施加的时刻、持续的时间. 如果把成像断层分成体素,各体素产生的信号强度依赖于体素内自旋核密度及环境,采集这些信号还原自旋核密度的空间分布就是实现图像重建. 为了使信号中带有坐标信息,目前通用的方法是通过施加梯度磁场用频率去标示这些体素的坐标. 这就涉及到梯度磁场施加的方向、时刻、顺序、持续的时间等. 其次是信号的采集,是直接采集 FID 信号还是采集回波,是梯度回波还是自旋回波,在哪一时刻采集,用什么方式采集,要采集反映生物组织哪一方面特征的信息,如何加快采集速度提高信噪比等等. 出现了各种各样的参数和各种各样的脉冲序列,使得磁共振成像原理变得异常复杂和难以理解. 为了方便地处理以上问题,使采集到的时间域信号更快地实现模-数转换,更好地利用在频率域处理信号简单、快捷的优势,通过傅里叶变换实现图像重建引入“ $k$  空间”

的概念. 实际是用计算机存储数据的一个方法. 由于它不是一个物理空间,而与成像的物理空间又有非常密切的关系,所以对于初学者来说,  $k$  空间既是一个很难理解的概念,又是一个很重要的空间. 它是为傅里叶变换图像重建提供数据、提供重要图像解释方式的基础. 有了它,不必采用复杂的数学演算就可以进行脉冲序列的信号强度、组织对比、优势、缺陷以及对应的伪像、分辨率、信噪比的讨论. 它也是 MRI 仪器制造过程中的关键技术之一.

现行教科书中,  $k$  空间的引入大多数仅限于定性讨论,很难深入理解;有的推导虽然注意了科学性与严密性,但又太高深,使数理基础不太深厚的医学专业的学生理解起来有困难. 现尝试用普通物理学的方法引入  $k$  空间,并对其实质给予进一步的分析.

## 1 一维傅里叶变换图像重建与 $k$ 空间的引入

傅里叶变换及逆变换如下

$$F(\omega) = \int_{-\infty}^{\infty} f(t) e^{-i\omega t} dt \quad (1)$$

$$f(t) = \frac{1}{2\pi} \int_{-\infty}^{\infty} F(\omega) e^{i\omega t} d\omega \quad (2)$$

时域信号与频域信号可通过傅里叶变换相互转化, MRI 中坐标是用频率与相位表示的,所以傅里叶变换图像重建是 MRI 的最佳选择. 图 1 给出了傅里叶变换图像重建用频率表示空间位置的原理.

\* 河北省科技厅资助项目“永磁微型磁共振成像仪的研制”,项目编号:08202133D

作者简介:侯淑莲(1946-),女,教授,主要从事医学物理教学和 CT 与磁共振成像原理研究.

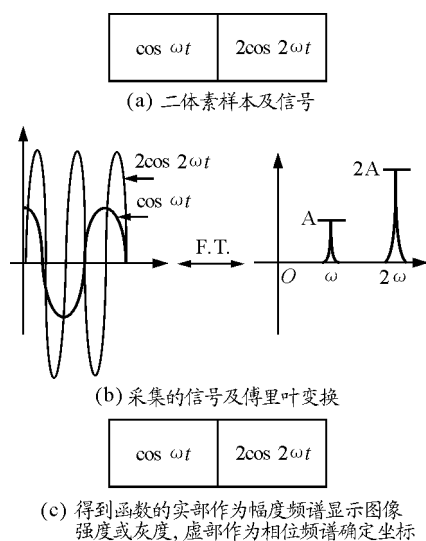


图 1

设在  $xOy$  平面磁场矢量  $B$  以角速度  $\omega$  旋转, 接收线圈轴线 (或平面线圈法线) 方向沿  $y$  轴, 面积为  $S$ , 平面线圈内将产生感生电动势  $\epsilon$  (图 2). 如果旋转的磁场是均匀的 (当空间距离小于  $\lambda = \frac{2\pi c}{\omega}$  时可忽略空间变化,  $1\text{ T}$  时真空中对应电磁波波长  $\lambda = 7\text{ m}$ )<sup>[1]</sup>,  $t = 0$  时线圈法线与磁场垂直, 则根据法拉第电磁感应定律<sup>[2]</sup> 有

$$\epsilon = \frac{d\Phi}{dt} = BS\omega \cos \omega t \quad (3)$$

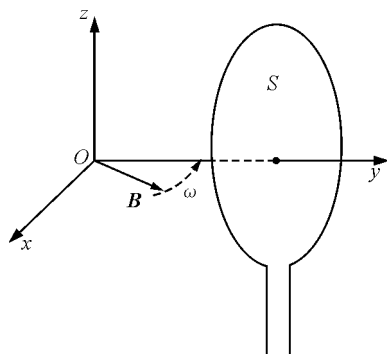


图 2 旋转磁场在静止线圈中产生感生电动势

由此出发考查一个自旋核一维分布的样本. 设体素沿  $x$  方向, 自旋核密度为  $\rho(x)$ , 设主磁场  $B_0$  方向为  $z$  方向. 由于氢核自旋对于外磁场的取向作用使氢核的基态能级发生分裂, 使样本中每一个体素产生沿主磁场方向的磁矩  $dM_z$ , 整个样本沿主磁场产生的总磁矩为  $M_0$ , 如图 3(a). 设沿  $x$  方向施加  $90^\circ$  射频 (RF) 脉冲, 则各  $dM_z$  或  $M_0$  一方面绕主磁场

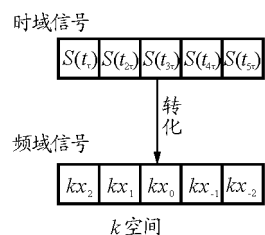
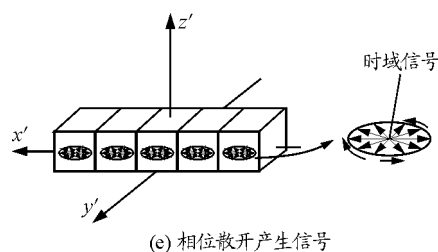
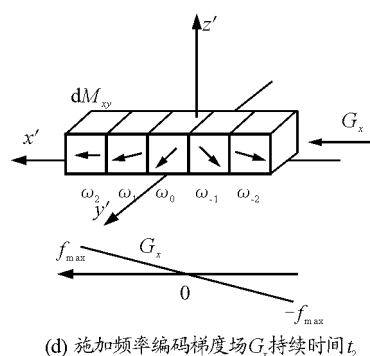
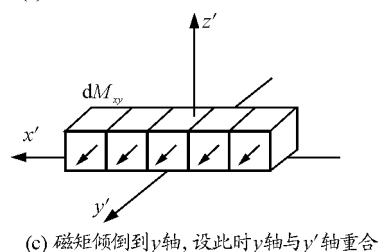
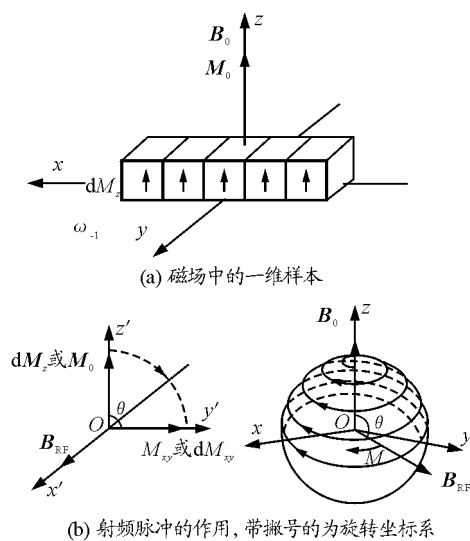
(f) 频率编码的同时采集时域信号, 转化为  $k$  表示的频信号完成  $k$  空间填充

图 3 磁共振信号的产生

$B_0$  旋进, 另一方面绕射频磁场  $B_{RF}$  旋进, 如图 3(b), 总效果是旋转着倒向  $xOy$  平面(可设倒向  $y$  轴), 一般忽略弛豫衰减有  $dM_{xy} = dM_0$ , 各体素磁矩同相位, 如图 3(c). 此后 RF 结束横向磁化强度矢量失去射频脉冲的束缚, 自由地在  $xOy$  平面旋进, 由于局部磁场的差异很快散相即所谓弛豫, 产生信号, 如图 3(d). 为了建立信号的坐标,  $90^\circ RF$  后加线性梯度场  $G_x$  进行频率编码, 如图 3(e). 频率编码的同时, 采集时域信号, 并把此信号转化为用  $k$  表示的频域信号数据, 存贮到计算机的一个空间叫做  $k$  空间填充, 后面有专门的介绍, 见图 3(f). 设  $90^\circ RF$  结束时,  $t=0$ , 各体素有相同的初相位, 且  $\varphi_0=0$ , 并假设主磁场均匀, 不存在横向分量, 则由

$$\omega = \gamma B^{[3]} \quad (4)$$

倾倒后的横向磁化强度矢量  $dM_{xy}$  进动频率为

$$\omega = \omega_0 + \Delta\omega = \omega_0 + \gamma G_x x \quad (5)$$

用频率标记坐标. 设接收线圈法线沿  $y$  轴, 将  $dM_{xy}$  用复数表示将更方便<sup>[3]</sup>

$$\begin{aligned} dM_{xy} &= (dM_y + idM_x)e^{-t/T_2} = \\ dM_0(\cos\omega t + i\sin\omega t)e^{-t/T_2} &= \\ dM_0 e^{i\omega t} e^{-t/T_2} \end{aligned} \quad (6)$$

其中  $e^{-t/T_2}$  为横向弛豫(衰减)项,  $t = T_E$  时采集信号. 当  $T_E \ll T_2$  时, 可忽略弛豫衰减(也可归入等效自旋密度之中), 所以有  $dM_{xy} = dM_0 e^{i\omega t}$ . 由式(3)可知, 信号(感生电动势)的强度与旋转角频率  $\omega$  成正比, 与磁感应强度成正比; 在本问题中也就是与磁化强度矢量  $dM_0$  成正比, 而  $dM_0 \propto$  自旋核密度  $\rho(x)$ , 每个体素产生的信号

$$d\epsilon \propto \rho(x)\omega(x)e^{i\omega t} dx$$

信号的强度还与弛豫时间、温度、电子线路、场及其他一些复杂因素有关, 但自旋核密度是最基本的成像参数, 不存在自旋核的地方不会有信号, 其他因素依赖于自旋核密度, 把上式写为等式

$$d\epsilon = \Lambda\rho(x)\omega(x)e^{i\omega t} dx$$

为了研究方便, 引入有效自旋密度概念. 于是令  $\rho(x) = \Lambda\omega_x\rho$  作为有效自旋密度, 其中  $\Lambda$  为比例系数, 包括了影响信号的一些因素, 采集到的信号

$$S(t) = \int \rho(x)e^{i\omega t} dx \quad (7)$$

积分范围是自旋核密度不为零的区域. 为了旋进的稳定性, 射频脉冲是一个旋转磁场, 其角频率与  $dM_z$

绕着主磁场旋进的角频率相同为  $\omega_0$ . 建立旋转坐标系, 与实验室坐标系  $z$  轴相同. 若以旋转坐标系为参考系(相当于信号解调), 由

$$\omega = \omega_0 + \Delta\omega = \omega_0 + \gamma G_x \cdot x$$

则在旋转坐标系中,  $dM_{xy}$  旋转的角速度为  $\Delta\omega = \gamma x G_x$ . 把相位用角度表示, 式(7)变为

$$S(t) = \int \rho(x)e^{-i2\pi\gamma x G_x t} dx \quad (8)$$

负号表示横向矢量旋进角速度方向与确定相位角(逆时针为正)的方向相反. 令  $k_x = \gamma G_x \cdot t$ , 量纲为  $\text{Hz} \cdot \text{cm}^{-1}$ , 称做空间频率, 表示沿空间某一方向单位距离内波动的周期数, 是一个矢量, 又称为波数. 这样就把时间  $t$  隐含到空间频率之中, 式(8)可写为

$$S(k_x) = \int \rho(x)e^{-i2\pi k_x x} dx \quad (9)$$

显然, (9) 式恰恰是等效自旋核密度  $\rho(x)$  的傅里叶变换式. 通过线性变换把用时域信号  $S(t)$  表示的采集信号转化为用频域信号  $S(k_x)$  表示出来, 把信号与自旋密度联系起来. 从傅里叶的逆变换则很容易得到自旋核的密度分布, 重建图像

$$\rho(x) = \int S(k_x)e^{i2\pi k_x x} dk_x \quad (10)$$

由以上研究可见, 用  $k$  标记的信号就是有效自旋核密度沿线性梯度方向的傅里叶变换, 变换的变量是空间频率  $k$ , 随时间和梯度强度变化. 所以一维空间成像通过频率编码用频率记录空间位置的信息, 用这些以频率表示的数据组成新的结构—— $k$  空间. 具体形成过程如下: 设一维样本含有  $N_x$  个体素, 每次采集到的信号是所有体素信号的和, 从数学原理上来说, 需有  $N_x$  次采集才能解出各体素的信号强度(或密度). 在施加频率编码持续时间  $t_2$  内, 在  $t = \tau, 2\tau, 3\tau, \dots$  以等间隔时间  $\tau$  连续采集  $N_x$  次, 形成  $N_x$  个以  $k$  表示的数据点, 组成一行, 形成一个维的一个数据空间, 由于用  $k$  作变量就称为  $k$  空间, 相邻点间的频率差为  $\Delta\omega = \gamma G_x \Delta x$ . 显然以一定顺序储存数据  $S(k)$  的空间就是  $k$  空间. 以上是从理论上对傅里叶变换、 $k$  空间的物理意义而作的简化推导, 浅显易懂. 在 MRI 实际制造中, 直接把接收到的时域信号  $S(t)$  通过傅里叶变换化为频域函数

$$S(k_x) = \int S(t)e^{-i2\pi k_x x} dx \quad (11)$$

进行傅里叶空间填充, 然后作傅里叶逆变换实

现图像重建,式(11)与式(9)是等价的.

## 2 二维傅里叶变换及 $k$ 空间的形成

对于二维样本假设由  $N_x \times N_y$  个体素构成. 要想使每一个体素都具有用频率表示的坐标,除了在  $x$  方向施加线性梯度场  $G_x$  频率编码外,还要在  $y$  方向施加相位编码线性梯度场  $G_y$ ,使二维断面上的体素再获得用频率表征的纵坐标. 具体过程是 RF 脉冲后核磁矩倒向  $y$  轴,首先,施加相位编码梯度场持续时间  $t_1$ ,结束时不同  $y$  坐标的体素获得不同的相位,接着施加频率编码梯度场同时采集时间域信号  $S(t_1, t_2)$ ,转化成用  $k_x, k_y$  表示的一行数据,形成  $k$  空间的一行,将式(8)应用到二维

$$S(k_x, k_y) = \iint dx dy \rho(x, y) e^{-i2\pi(k_x x + k_y y)} \quad (12)$$

其中

$$\begin{aligned} k_y &= \gamma G_y \cdot t_1 \\ k_x &= \gamma G_x \cdot t_2 \end{aligned} \quad (13)$$

积分范围遍及自旋核存在的区域. 与一维一样,式(12)是等效自旋核密度  $\rho(x)$  的傅里叶变换式,所以对(12)式进行二维傅里叶逆变换即得到有效自旋密度分布函数,实现图像重建

$$\rho(x, y) = \iint S(k_x, k_y) e^{i2\pi(k_x x + k_y y)} dk_x dk_y \quad (14)$$

与一维情况一样,  $S(k_x, k_y)$  可通过采集的时域函数  $S(t_1, t_2)$  的二维傅里叶变换得到

$$S(k_x, k_y) = \iint S(t_1, t_2) e^{-2\pi i(k_x x + k_y y)} dx dy \quad (15)$$

对  $N_x \times N_y$  体素平面,需要采集到  $N_x \times N_y$  个信号;所以相位编码需进行  $N_y$  次. 现在加相位编码梯度场的方法是由负向最大等间隔增加到正向最大,一次相位编码对应一次频率编码采集  $N_x$  个信号对应  $k$  空间的一行,  $G_y = 0$  对应  $k$  空间中央行. 相位编码进行  $N_y$  次后,填满  $N_y$  行,组成  $N_x \times N_y$  的二维  $k$  空间. 最终图像重建信号经傅里叶逆变换实现,一般经计算机软件处理来完成. 二维傅里叶变换结果一般用复数表示,其实部作为幅度频谱表示强度或灰度,虚部为相位频谱表示坐标.

## 3 关于 $k$ 空间

### (1) $k$ 空间与成像物理空间

$k$  空间每一个数据点都是断层上所有体素贡献的. 虽然二维空间是由二维数据点构成,但并不与物理空间直接对应.  $k$  空间内的频率编码轴不直接对应最终图像的频率编码轴,频率编码轴的左右两极并不对应 MR 图像的左侧和右侧部分,而是对应此轴线上图像的细节. 但  $k$  空间与真实成像平面物理空间是有关系的,若以  $\Delta\omega_{\max}$  表示成像物体两端对应的最大频率差有

$$\Delta\omega_{\max} = \gamma G_x N_x \Delta x = \gamma G_x \text{FOV}_x \quad (16)$$

上式中,视野(Field of View, FOV)  $\text{FOV}_x = N_x \Delta x$ . 设  $k$  空间一行中相邻点间频率差为  $\Delta\omega$ ,可见要得到同样  $\Delta\omega$ ,增加磁场梯度即可减小  $\Delta x$ ,就是提高了分辨力,增加采集次数可增大视野. 相位编码方向与  $x$  方向类似. 又由频率与周期的倒数关系可得到同一行中相邻点之间点距  $\Delta k_x$

$$\Delta k_x = \frac{1}{\text{FOV}_x} \quad (17)$$

### (2) $k$ 空间数据在图像重建中的作用

在  $k_y = 0$  的中央行,MR 信号是在  $G_y = 0$  时获得的,不存在相位编码梯度磁场产生的散相,信号的幅度也就最大;随着  $G_y$  正负方向的增加,相位编码梯度磁场引起的散相也开始增加,信号的幅度也就降低了. 在  $x$  方向也是如此.  $k_x = 0$  时采集的信号正好是每个回波的中心,因而幅度最大;而在  $k$  空间的周围列,MR 信号采集时则是回波的旁边部分. 总之,越靠近  $k$  空间边缘,信号越弱. 所以  $k$  空间中心部分对应的 MR 信号幅度大,主要形成图像的对比度. 由  $k$  空间中的行距  $\Delta k_y$  和同一行  $\Delta k_x$  及  $\Delta\omega_x = \gamma G_x \Delta x$ ,  $\Delta\omega_y = \gamma G_y \Delta y$  表明,对于同样的空间两点间的距离  $\Delta x$  或  $\Delta y$  梯度场越大,对应的频率差别越大,则两点分得越开,分辨率越好. 所以对  $k$  空间的外围部分虽然信号幅度低,但能很好的分辨细节,用来产生图像的分辨率. 通过  $k$  空间分析磁共振成像已成为最方便最重要的手段. 所以  $k$  空间是 MRI 研究中非常重要的空间.

## 参考文献

- 1 E. Mark Haacke, Robert W. Brown, et al 著. 曾晓庄, 包尚联译. 核磁共振成像物理原理和脉冲序列设计. 北京: 中国医药科技出版社, 2007
- 2 赵凯华, 陈熙谋. 电磁学. 北京: 高等教育出版社, 1985
- 3 祖栋林. 核磁共振成像学. 北京: 高等教育出版社, 2004